FIG.1

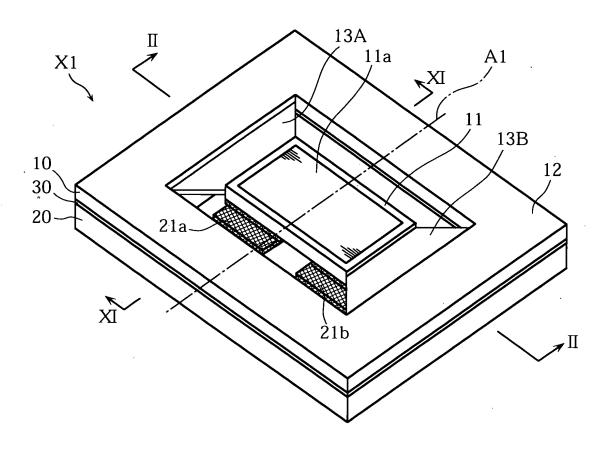


FIG.2

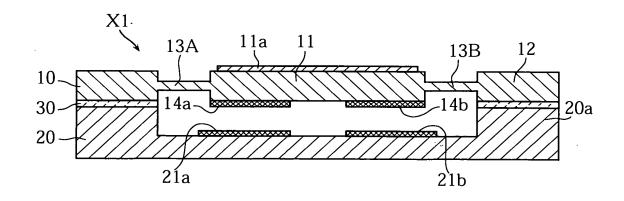


FIG.3A

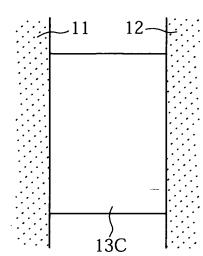


FIG.3B

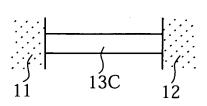


FIG.4A

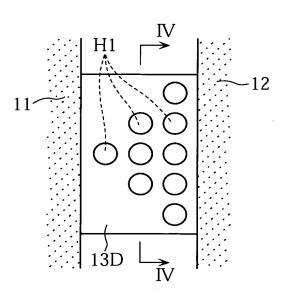


FIG.4B

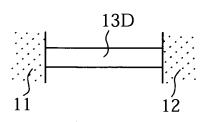
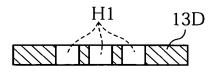


FIG.4C



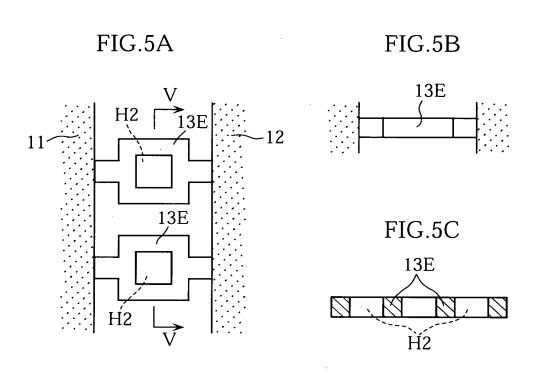
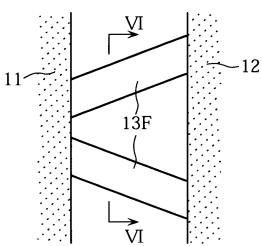


FIG.6A

FIG.6B



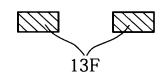
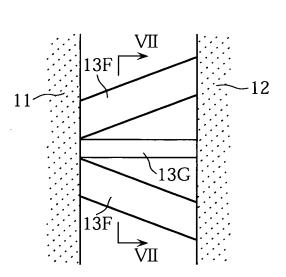


FIG.7A

FIG.7B



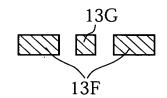
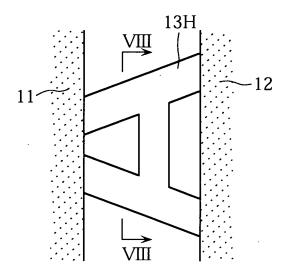




FIG.8B



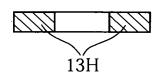


FIG.9A

FIG.9B

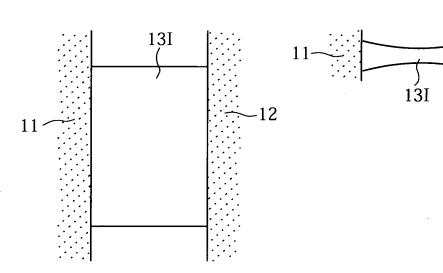


FIG.10

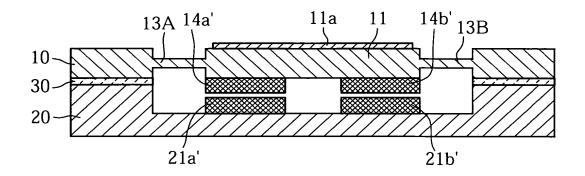


FIG.11

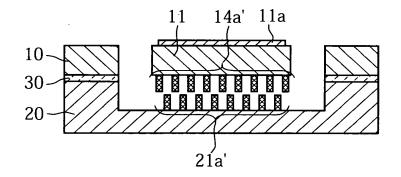


FIG.12

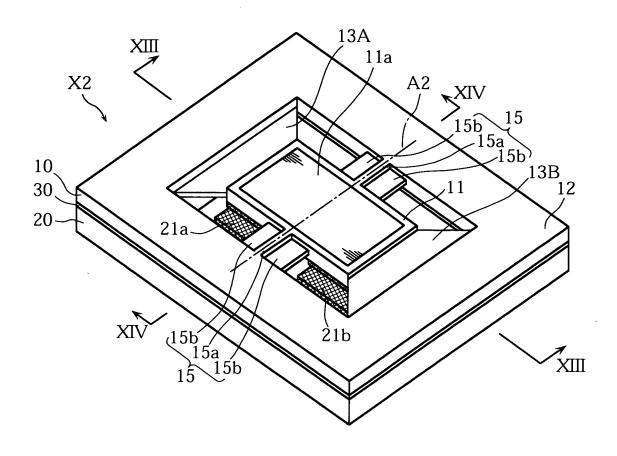


FIG.13

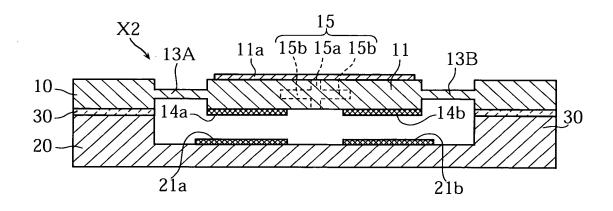


FIG.14

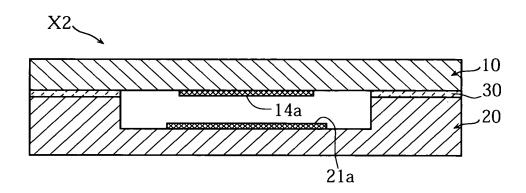


FIG.15A

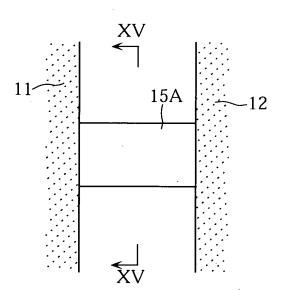
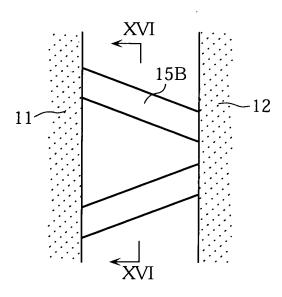


FIG.15B



FIG.16A

FIG.16B



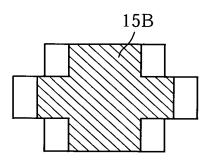


FIG.17

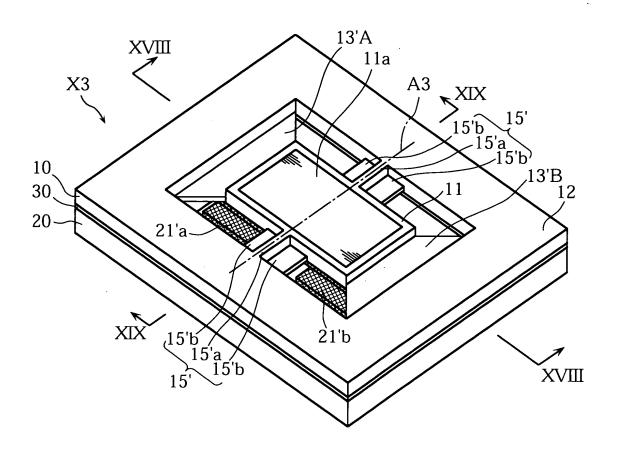


FIG.18

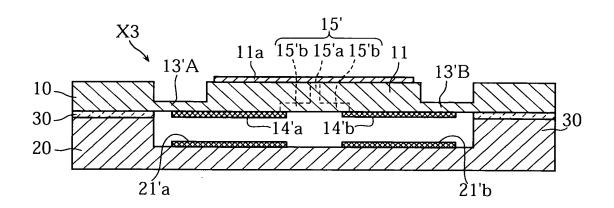


FIG.19

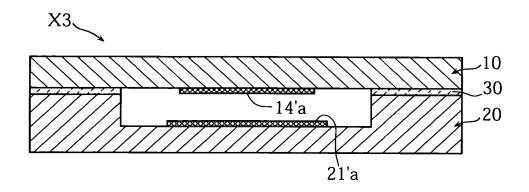


FIG.20

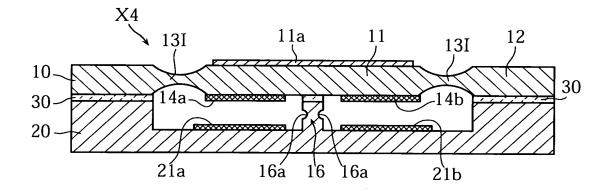
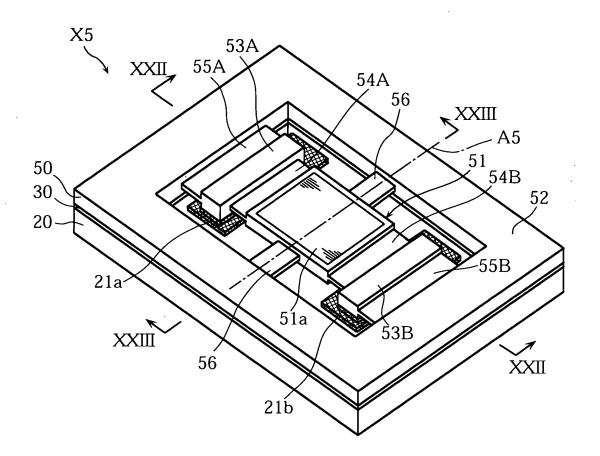


FIG.21



Title: MICRO-OSCILLATION ELEMENT By: Xiaoyu MI, et al. Docket No.: 040089

FIG.22

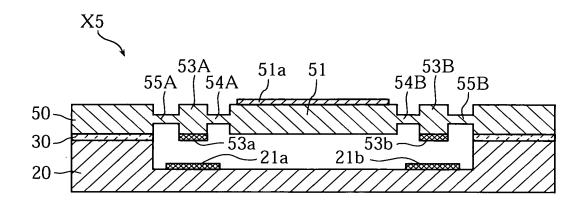


FIG.23

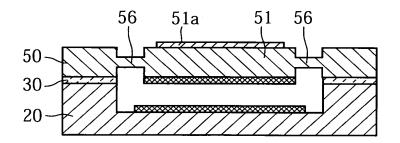


FIG.24 PRIOR ART

